

Фронтотогенез

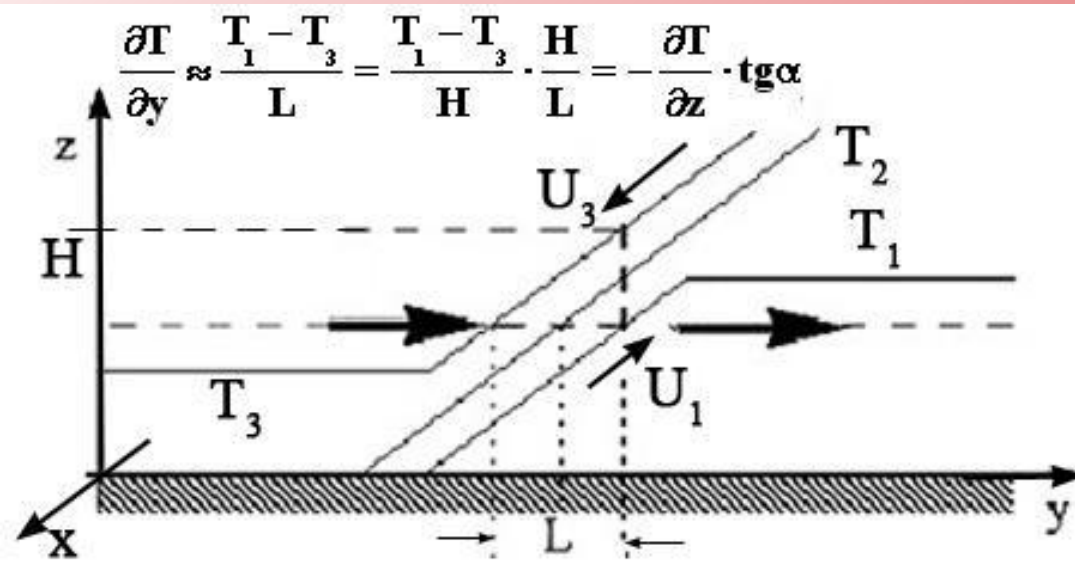
и

Q-вектор

Наклон фронтальных зон в атмосфере



Макс Маргулис



$$\Delta U_g = -\frac{g \cdot \Delta z}{l \cdot T_{cp}} \frac{\partial T_{cp}}{\partial y}$$

Если $\Delta U_{gp} \approx \Delta U \approx U_3 - U_1$ и $z \cdot \nabla T = H \cdot \frac{\partial T}{\partial y} \approx (T_1 - T_3) \cdot \text{tg}\alpha$ то

$$\text{tg}\alpha = \frac{l \cdot T_{cp}}{g} \cdot \frac{U_3 - U_1}{T_1 - T_3} \text{ — формула Маргулеса}$$

Чтобы угол наклона был в сторону холодного воздуха в теплом воздухе должна быть больше скорость ветра вдоль фронта

Фронты образуются в зонах конвергенции ветра



Вильгельм
Бьеркнес

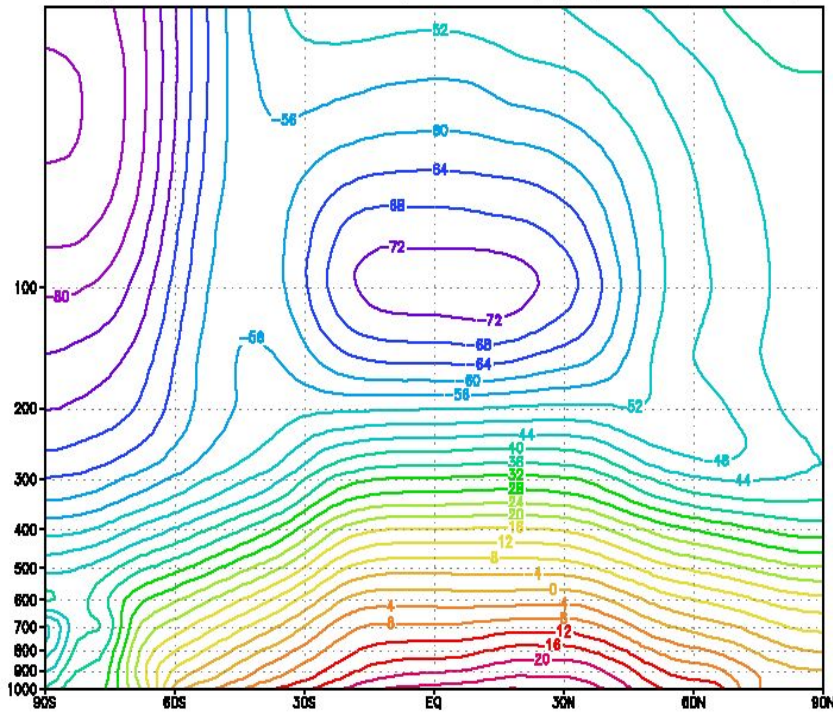


Зоны максимальных градиентов

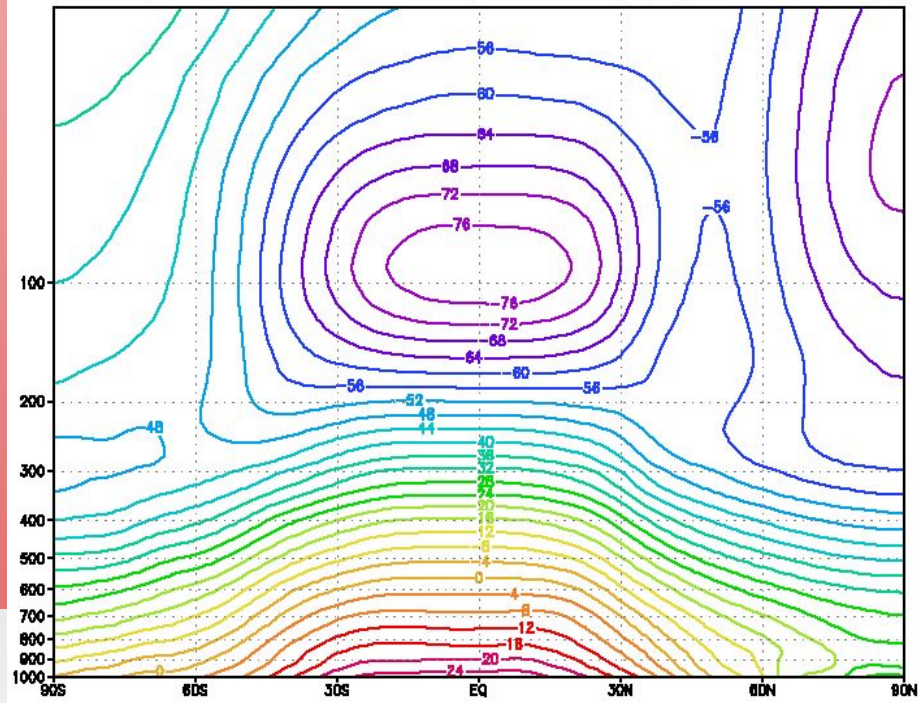
январь

температуры июль

July 1000–100hPa Temperature (C) (zonal average)



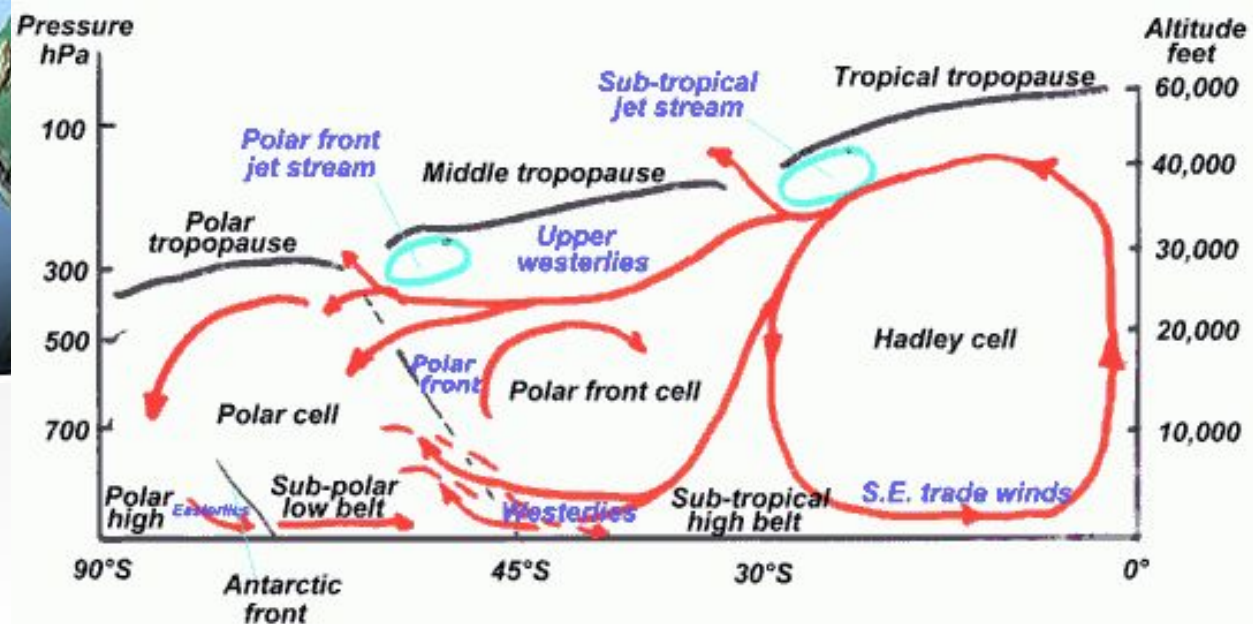
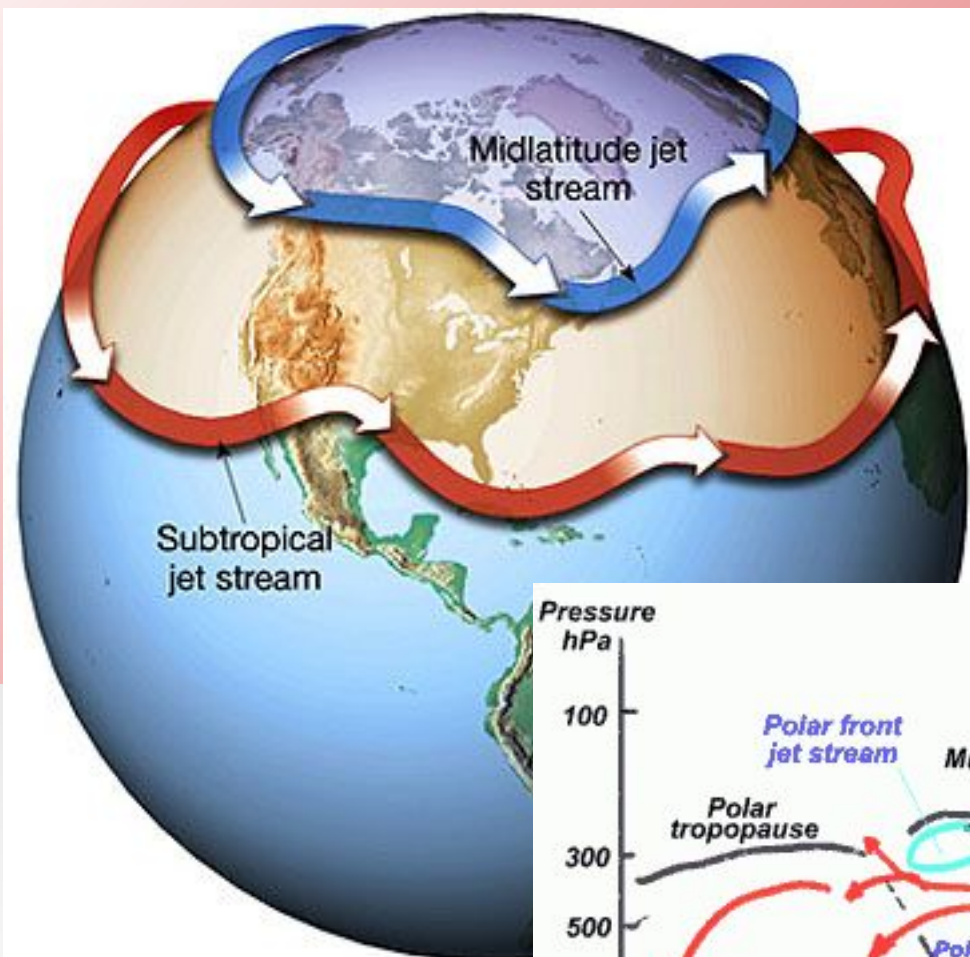
January 1000–100hPa Temperature (C) (zonal average)



- *Зона 1: Область нисходящих токов, ограничивающая ячейку Хэдли, в которой температура выровнена по широте и высока*
- *Зона 2: Область вблизи снеговой линии, севернее которой температуры над льдом и снегом выравнены по горизонтали и низка*

Что мы знаем:

- *В зонах устойчивых максимальных температурных градиентов образуются климатические фронты, разделяющие полушарие на экваториальную и приполярную части и область умеренных широт.*
- *Механизм увеличения скоростей ветра в струйных течениях – термический ветер – приводит в этих зонах под влиянием усиленных термических градиентов к возникновению двух струйных течений*



Вопрос:

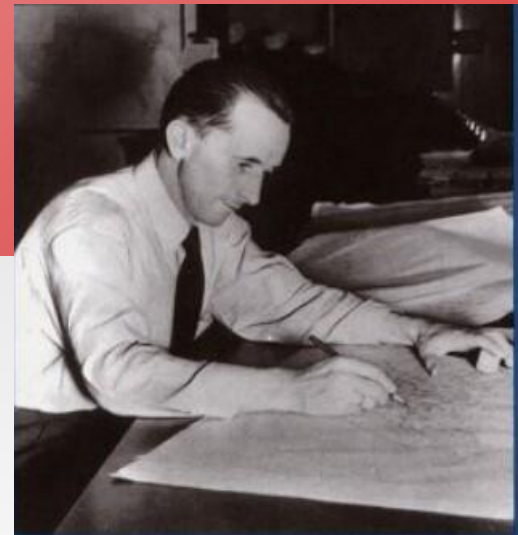
А почему же вне области струйных течений образуются узкие зоны максимальных температурных градиентов ?

Ответ на этот вопрос дает динамическая теория фронтотенеза

Сгущение изотерм, образующее фронт, определяется различием адвекции в деформационном поле



Тор Харольд
Бержерон



Сверре Петессен

Причины усиления горизонтального градиента температуры

Уравнение притока тепла для изобарических поверхностей:

$$\boxed{\frac{d\theta}{dt} = \frac{J}{\rho_P}} \text{ где } \theta = T \left(\frac{P_0}{P} \right)^{\frac{R}{C_P}}, \quad \frac{J}{\rho_P} \text{ — приток тепла к единице массы}$$

Если рассматривать адиабатическую и квазигеострофическую атмосферу, то

$$\frac{d\theta}{dt} = \frac{J}{\rho_P} \Rightarrow \boxed{\frac{\partial \theta}{\partial t} + u_g \frac{\partial \theta}{\partial x} + v_g \frac{\partial \theta}{\partial y} + \omega \frac{\partial \theta}{\partial p}} \text{ где } \omega = \frac{dp}{dt}$$

$$\frac{\partial}{\partial y} : \left(\frac{\partial \theta}{\partial t} = -u_g \frac{\partial \theta}{\partial x} - v_g \frac{\partial \theta}{\partial y} - \omega \frac{\partial \theta}{\partial p} \right) \Rightarrow$$

$$\left(\frac{\partial}{\partial t} + u_g \frac{\partial}{\partial x} + v_g \frac{\partial}{\partial y} \right) \frac{\partial \theta}{\partial y} = \frac{D_g}{Dt} \left(\frac{\partial \theta}{\partial y} \right) = - \frac{\partial u_g}{\partial y} \frac{\partial \theta}{\partial x} - \frac{\partial v_g}{\partial y} \frac{\partial \theta}{\partial y} - \frac{\partial \omega}{\partial y} \frac{\partial \theta}{\partial p} - \omega \frac{\partial}{\partial y} \frac{\partial \theta}{\partial p}$$

$$\boxed{\frac{D_g}{Dt} \left(\frac{\partial \theta}{\partial y} \right) = - \left(\frac{\partial u_g}{\partial y} \frac{\partial \theta}{\partial x} - \frac{\partial u_g}{\partial x} \frac{\partial \theta}{\partial y} \right) - \frac{\partial \omega}{\partial y} \frac{\partial \theta}{\partial p}}$$

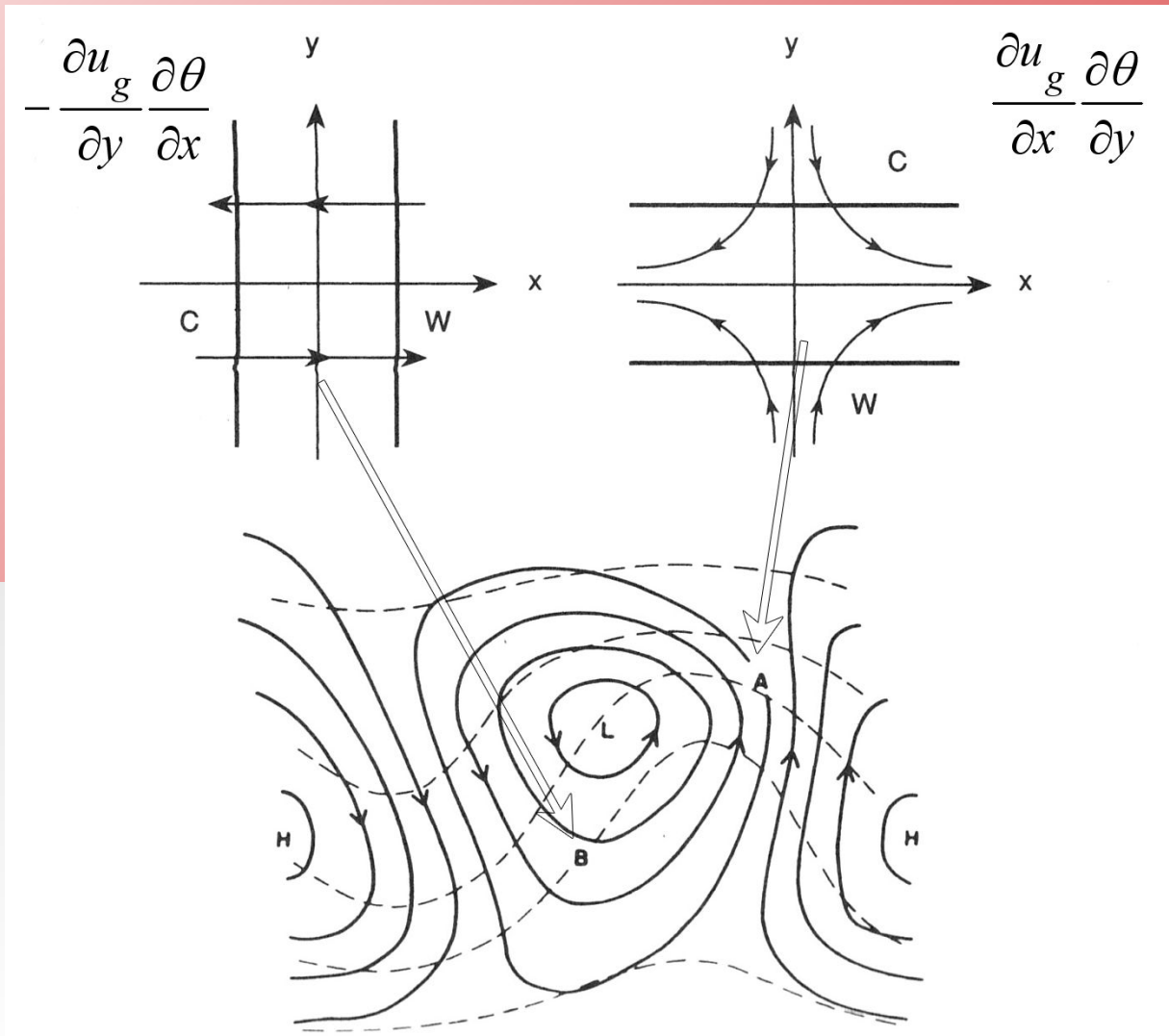
Три причины усиления градиента температуры

$$\frac{D_g}{Dt} \left(\frac{\partial \theta}{\partial y} \right) = - \left[\underbrace{\frac{\partial u_g}{\partial y} \frac{\partial \theta}{\partial x}}_1 - \underbrace{\frac{\partial u_g}{\partial x} \frac{\partial \theta}{\partial y}}_2 \right] - \underbrace{\frac{\partial \omega}{\partial y} \frac{\partial \theta}{\partial p}}_3$$

- *Поперечный сдвиг геострофического ветра (1)*
- *Продольное усиление геострофического ветра (2)*
- *Усиление наклона изотерм и увеличение скорости поперечной вертикальной циркуляции (3)*

Первопричины роста поперечного градиента T

Поперечный
сдвиг
 U_g
(зона
холодно
го
фронта)



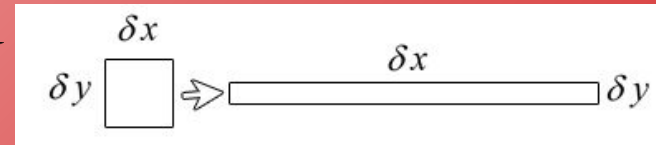
Деформа
ция
Растяже
ния
(зона
теплого
фронта)

Самоусиление фронтогенеза

Деформационное поле гиперболического типа: $\psi(x, y) = -K \cdot x \cdot y$

$$u_g = -\frac{\partial \psi}{\partial y} = Kx, \quad v_g = \frac{\partial \psi}{\partial x} = -Ky, \quad \frac{\partial u_g}{\partial x} = K, \quad K \cong \frac{1 \text{ [с]} }{1000 \text{ []}} = 10^{-5} \text{ [}^{-1}\text{]}$$

$$\frac{D}{Dt} \left(\frac{\delta x}{\delta y} \right) = \frac{1}{\delta x} \frac{D\delta x}{Dt} - \frac{1}{\delta y} \frac{D\delta y}{Dt} = \frac{\partial u}{\partial x} - \frac{\partial v}{\partial y} \rightarrow \frac{\partial u}{\partial x} - \frac{\partial v}{\partial y} = 2K$$



$$\frac{D_g}{Dt} \left(\frac{\partial T}{\partial y} \right) = K \frac{\partial T}{\partial y}$$

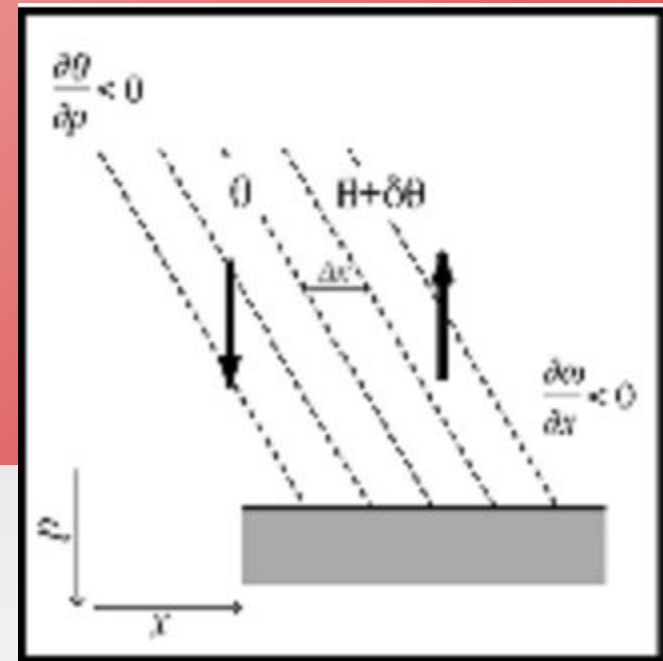
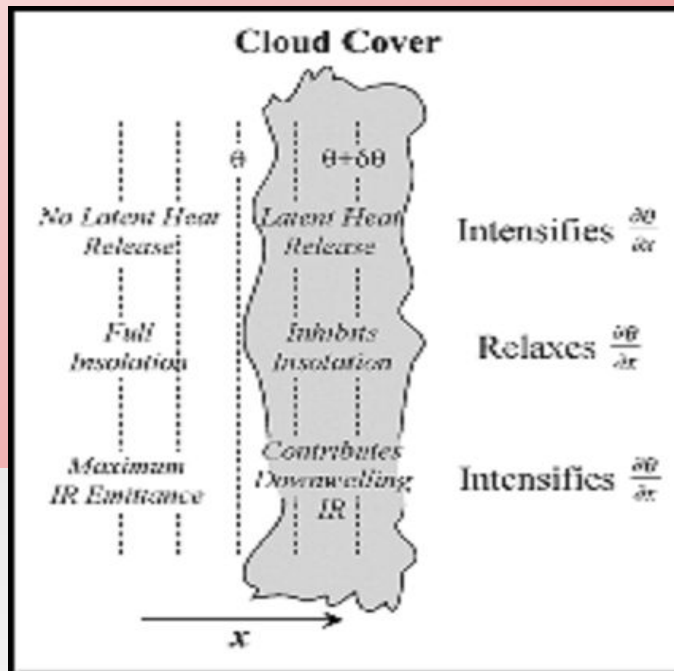
$$\frac{\partial T}{\partial y} = e^{Kt} \left(\frac{\partial T}{\partial y} \right)_{t=0}$$

Увеличение градиента температуры в 10 раз возможно при выбранном K не менее, чем за 3 суток.

В атмосфере на это происходит за 10 -12 часов.

Это значит, что при фронтогенезе возникают положительные обратные связи

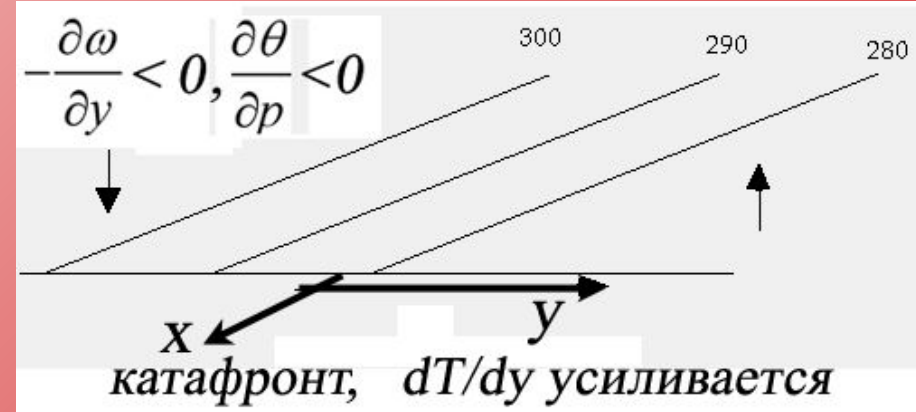
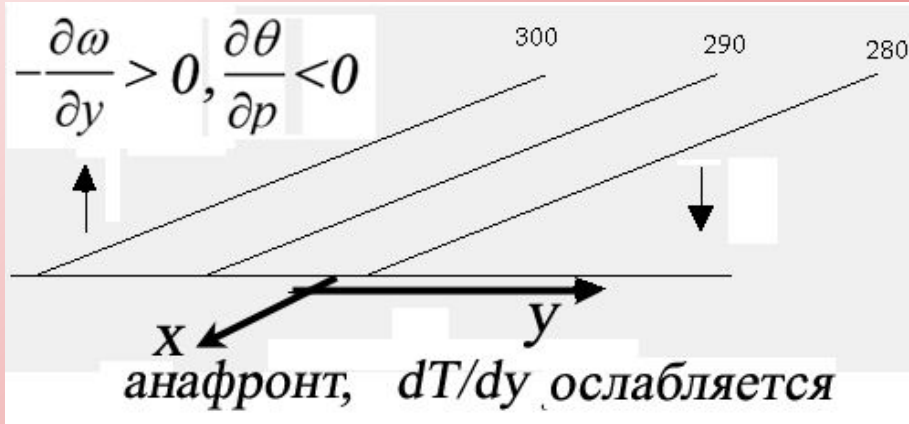
Еще причины роста поперечного градиента T



Влияние различий притока
тепла поперек зоны фронта

Влияние поперечной
вертикальной циркуляции
при наклонных изотермах

Возникновение и усиление поперечных циркуляций по разному влияет на фронтогенез



- *Вопрос: откуда берутся и почему возникают и усиливаются поперечные циркуляции?*
- *Ответ дает «полугеострофическая» модель фронта)*

Количественное объяснение
возникновения поперечной
циркуляции в зоне фронта



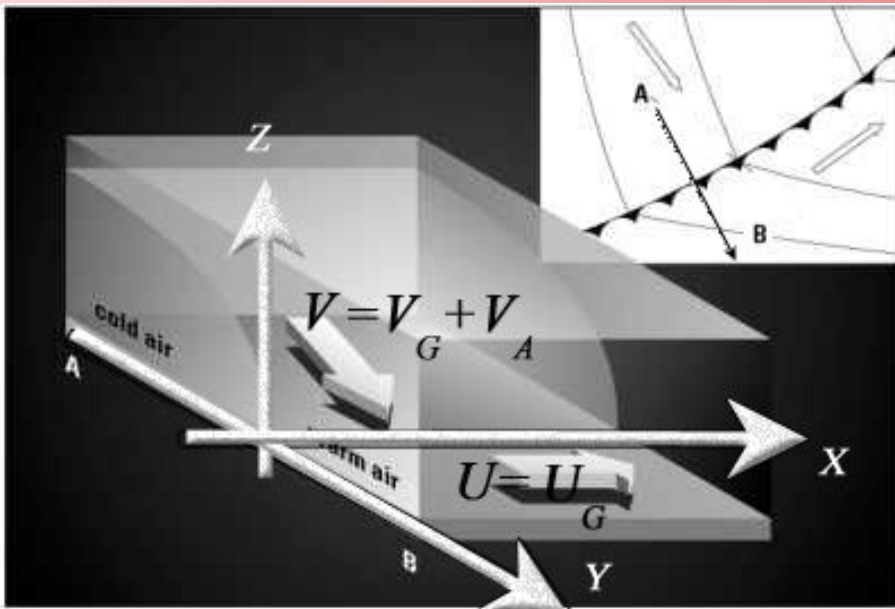
Арнт Элиассен
1915-2000



Джон Стенли Соьер
1916-2000

Полугеострофическая модель фронтогенеза. 1

Исходная система уравнений:



Система координат

$$\frac{Du}{Dt} - fv + \frac{\partial \Phi}{\partial x} = 0$$

$$\frac{Dv}{Dt} + fu + \frac{\partial \Phi}{\partial y} = 0$$

$$\frac{D\Theta}{Dt} + w \frac{d\theta_0}{dz} = 0$$

Параметр плавучести $b \equiv \frac{g\Theta}{\theta_{00}} = \frac{\partial \Phi}{\partial z}$

$$\frac{\partial u}{\partial x} + \frac{\partial v}{\partial y} + \frac{\partial w}{\partial z} = 0$$

$$\frac{D}{Dt} \equiv \frac{\partial}{\partial t} + u \frac{\partial}{\partial x} + v \frac{\partial}{\partial y} + w \frac{\partial}{\partial z}$$

Полугеострофическая модель фронтогенеза. 2

Масштабы и их отношения

$$L_x \gg L_y, U \gg V$$

$$U \sim 10 \text{ m s}^{-1}, V \sim 1 \text{ m s}^{-1}, L_x \sim 1000 \text{ km}, L_y \sim 100 \text{ km},$$

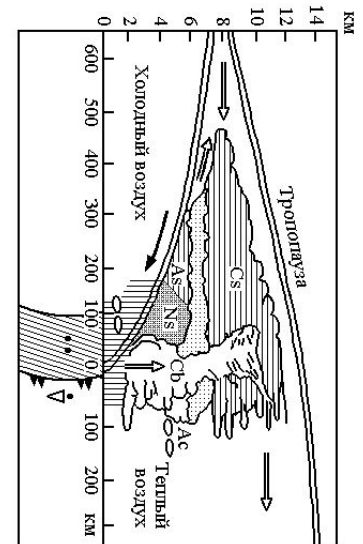
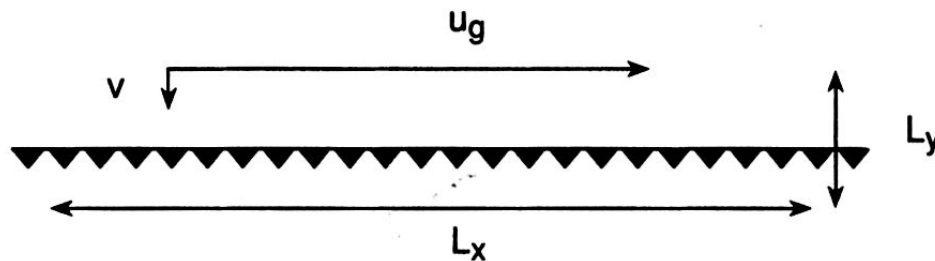
$$D/Dt \sim V/L_y$$

$$Ro \equiv V/fL_y \ll 1, \text{ the}$$

$$\frac{|Du/Dt|}{|fv|} \sim \frac{UV/L_y}{fV} \sim Ro \left(\frac{U}{V} \right) \sim 1$$

$$\frac{|Dv/Dt|}{|fu|} \sim \frac{V^2/L_y}{fU} \sim Ro \left(\frac{V}{U} \right) \sim 10^{-2}$$

По оси Y выполняется геострофическое соотношение, а по оси X оно не выполняется. Это используется в полугеострофических построениях



Полугеострофическая модель фронтогенеза. 3

Упрощения уравнений

$$\frac{Du_g}{Dt} - fv_a = 0 \quad \text{поскольку} \quad fv_g = \frac{\partial \Phi}{\partial x} \quad fu_g = -\frac{\partial \Phi}{\partial y} \quad \text{откуда} \quad f \frac{\partial u_g}{\partial z} = -\frac{\partial b}{\partial y}$$

$$\frac{Db}{Dt} + N^2 w = 0 \quad \text{аналог температуры} \quad b = \frac{g(\theta - \theta_0)}{\theta_0} = \frac{\partial \Phi}{\partial z} \quad \text{частота Б-В. осн состояния} \quad N^2 = \frac{g}{\theta_0} \frac{\partial \theta_0}{\partial z}$$

$$\frac{\partial v_a}{\partial y} + \frac{\partial w}{\partial z} = 0 \quad \text{тогда} \quad v_g = -\frac{\partial \psi}{\partial z} \quad w = \frac{\partial \psi}{\partial y} \quad \text{а } \psi \text{ — функция тока}$$

$$\frac{D}{Dt} = \frac{D_g}{Dt} + \lambda \left(v_a \frac{\partial}{\partial y} + w \frac{\partial}{\partial z} \right) \quad \text{где} \quad \frac{D_g}{Dt} = \frac{\partial}{\partial t} + u_g \frac{\partial}{\partial x} + v_g \frac{\partial}{\partial y} \quad \text{а } \lambda = \begin{cases} 1 \\ 0 \end{cases} \text{ — индикатор}$$

Для перехода к следующему слайду нужно разобрать формулу

$$f \frac{\partial}{\partial z} \left(\frac{Du_g}{Dt} - fv_a \right) = \frac{D}{Dt} \left(f \frac{\partial u_g}{\partial z} \right) + f \frac{\partial u_g}{\partial z} \frac{\partial u_g}{\partial x} + f \frac{\partial v_g}{\partial z} \frac{\partial u_g}{\partial y} + \lambda f \frac{\partial}{\partial z} \left(v_a \frac{\partial u_g}{\partial y} + w \frac{\partial u_g}{\partial z} \right)$$

$$-Q_2 = \frac{\partial u_g}{\partial z} \frac{\partial u_g}{\partial x} + \frac{\partial v_g}{\partial z} \frac{\partial u_g}{\partial y} = \frac{\partial v_g}{\partial z} \frac{\partial u_g}{\partial y} - \frac{\partial v_g}{\partial y} \frac{\partial u_g}{\partial z} = \frac{\partial u_g}{\partial y} \frac{\partial b}{\partial x} + \frac{\partial v_g}{\partial y} \frac{\partial b}{\partial y}$$

Вывод основного уравнения для поперечной циркуляции во фронтальной зоне

$$\frac{D}{Dt} \left(f \frac{\partial u_g}{\partial z} \right) = Q_2 + \frac{\partial v_a}{\partial z} f \left(f - \lambda \frac{\partial u_g}{\partial y} \right) + \lambda \frac{\partial w}{\partial z} \frac{\partial b}{\partial y}$$
$$+ \frac{D}{Dt} \left(\frac{\partial b}{\partial y} \right) = Q_2 - \lambda \frac{\partial v_a}{\partial y} \frac{\partial b}{\partial y} - \frac{\partial w}{\partial y} \left(N^2 + \lambda \frac{\partial b}{\partial z} \right)$$

$$0 = 2Q_2 + \frac{\partial v_a}{\partial z} f \left(f - \lambda \frac{\partial u_g}{\partial y} \right) + \lambda \frac{\partial w}{\partial z} \frac{\partial b}{\partial y}$$
$$- \lambda \frac{\partial v_a}{\partial y} \frac{\partial b}{\partial y} - \frac{\partial w}{\partial y} \left(N^2 + \lambda \frac{\partial b}{\partial z} \right)$$

$$\text{ГДЕ } Q_2 = - \frac{\partial u_g}{\partial y} \frac{\partial b}{\partial x} - \frac{\partial v_g}{\partial y} \frac{\partial b}{\partial y}$$

Поперечная циркуляция в полугеострофическом и геострофическом случаях

Используя функцию тока

$$\frac{\partial w}{\partial y} = \frac{\partial^2 \psi_M}{\partial y^2}, \quad \frac{\partial w}{\partial z} = \frac{\partial^2 \psi_M}{\partial y \partial z}, \quad \frac{\partial v_a}{\partial z} = -\frac{\partial^2 \psi_M}{\partial z^2}, \quad \frac{\partial v_a}{\partial y} = -\frac{\partial^2 \psi_M}{\partial y \partial z}$$

получим уравнение для описания циркуляции воздуха в зоне фронта

$$\left(N^2 + \lambda \frac{\partial b}{\partial z} \right) \frac{\partial^2 \psi_M}{\partial y^2} + \lambda \left(-2 \frac{\partial b}{\partial y} \right) \frac{\partial^2 \psi_M}{\partial z \partial y} + f \left(f - \lambda \frac{\partial u_g}{\partial y} \right) \frac{\partial^2 \psi_M}{\partial z^2} = 2Q_2$$

В случае чисто геострофического движения $\lambda = 0$,

$$N^2 \frac{\partial^2 \psi_M}{\partial y^2} + f^2 \frac{\partial^2 \psi_M}{\partial z^2} = 2Q$$

Уравнение Соьера-Элиассена может менять тип

$$\left(-\gamma \frac{\partial \theta}{\partial p}\right) \frac{\partial^2 \psi}{\partial y^2} + \left(2 \frac{\partial M}{\partial p}\right) \frac{\partial^2 \psi}{\partial p \partial y} + \left(-\frac{\partial M}{\partial y}\right) \frac{\partial^2 \psi}{\partial p^2} = Q_s - \gamma \frac{\partial}{\partial y} \left(\frac{d\theta}{dt}\right)$$

$$Q_s = -2 \left(\frac{\partial U_s}{\partial y} \frac{\partial V_s}{\partial p} - \frac{\partial V_s}{\partial y} \frac{\partial U_s}{\partial p} \right)$$

$$A \frac{\partial^2 u}{\partial x^2} + B \frac{\partial^2 u}{\partial x \partial y} + C \frac{\partial^2 u}{\partial y^2} + D \frac{\partial u}{\partial x} + E \frac{\partial u}{\partial y} + F u = G$$

< 0 *Elliptic*

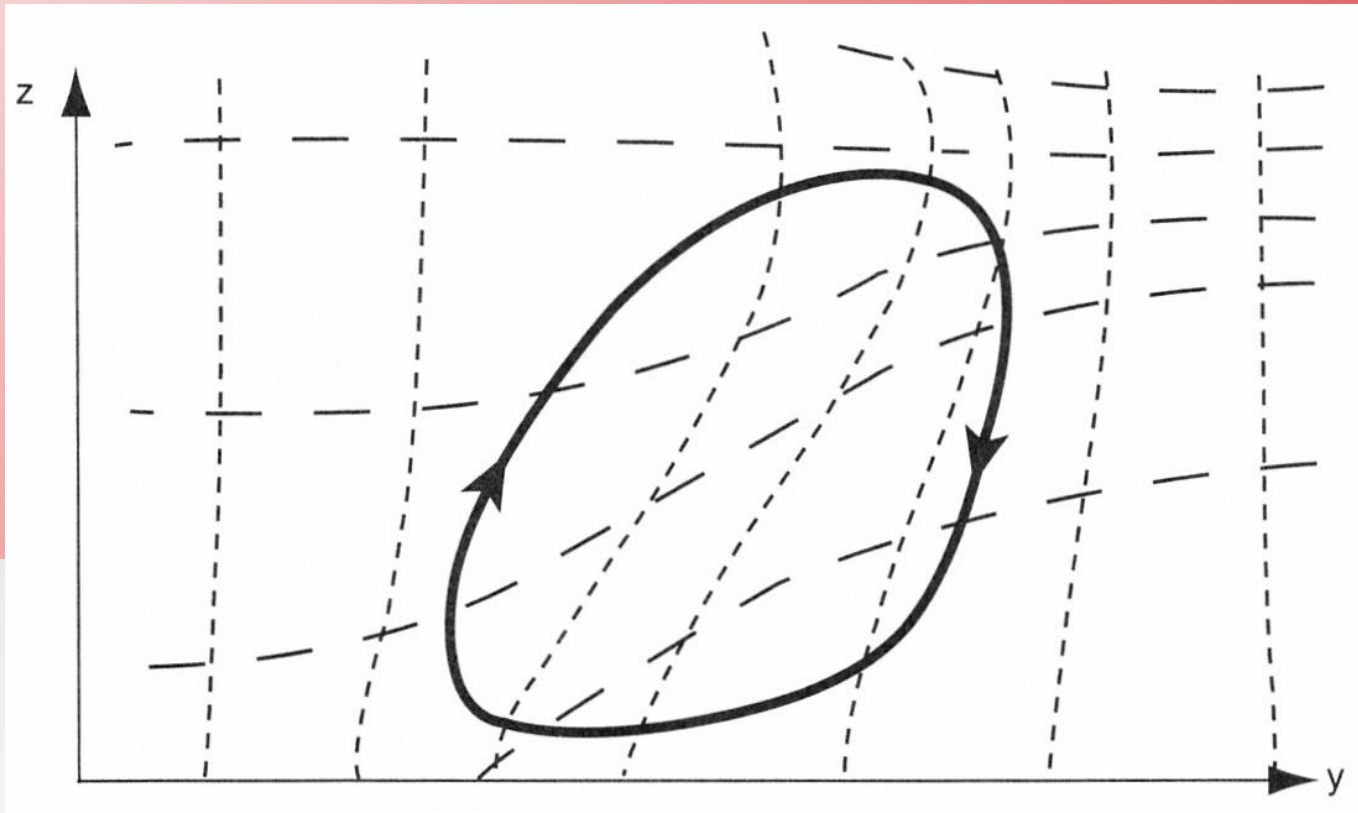
$B^2 - 4AC = 0$ *Parabolic*

> 0 *Hyperbolic.*

$$\gamma \left(\frac{\partial \theta}{\partial p} \frac{\partial M}{\partial y} - \frac{\partial \theta}{\partial y} \frac{\partial M}{\partial p} \right) > 0.$$

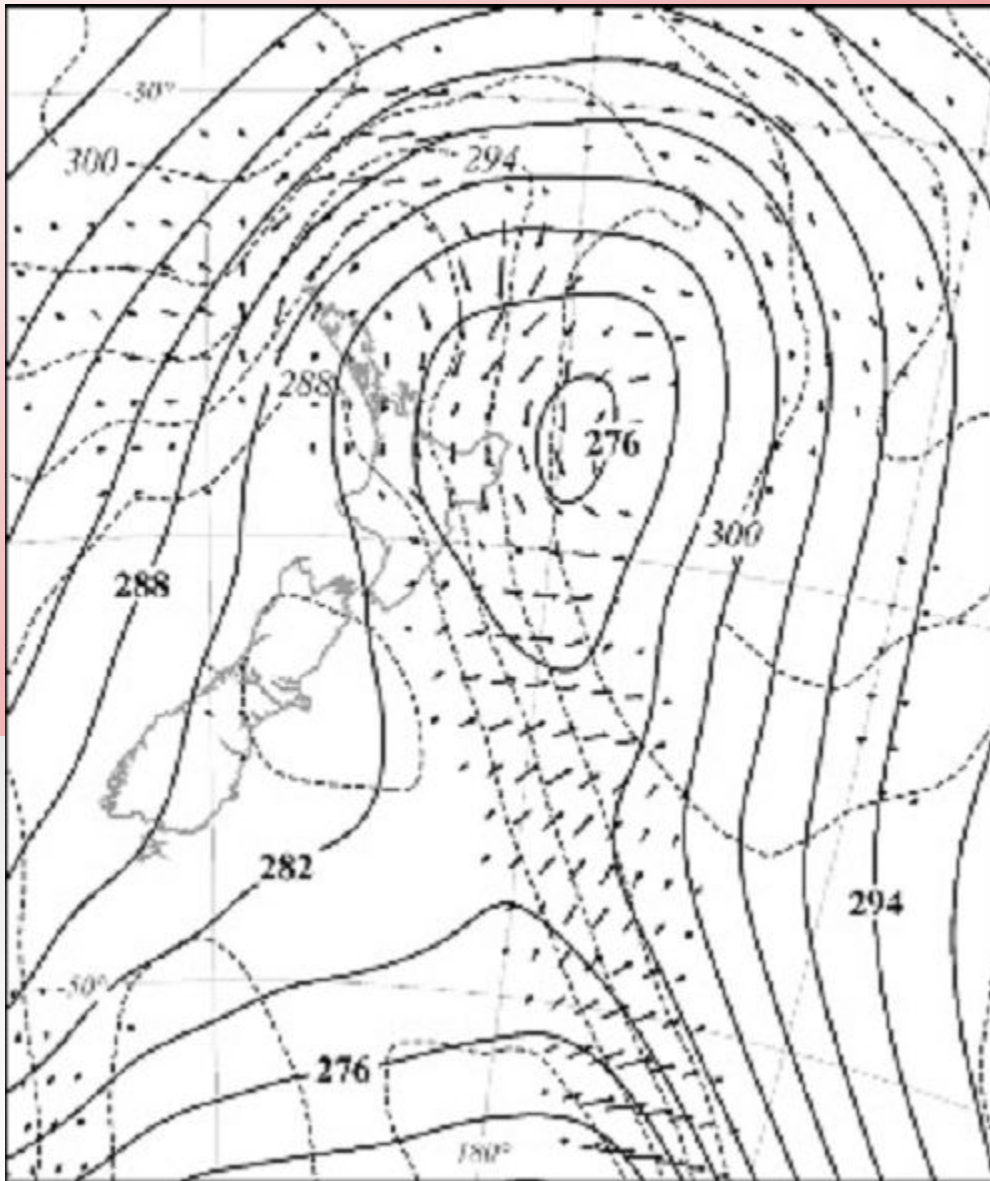
Это условие эллиптичности уравнения Соьера-Элиассена, когда решение единственно во всей области

Типичные условия возникновения поперечной циркуляции в геострофической фронтальной зоне



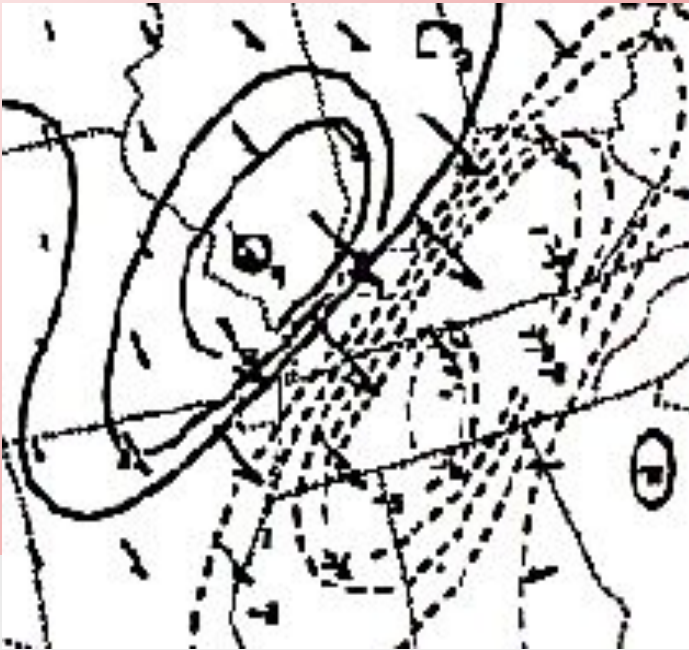
Уравнение поперечной циркуляции будет эллиптическим и под влиянием неоднородной адвекции температуры (Q_2) возникает поперечная циркуляция воздуха, которая усиливает рост градиента температуры и тем самым увеличивает наклон и переводя режим в полугеострофический. В последнем асимметрия еще более усиливается

Совместный анализ
термобарического
поля и Q-вектора
при выявлении зон
фронтогенеза
(Нов.зеландия.
6.08.2004. 06 UT



Изогипсы Н700 –
сплошные
Изоэнтропы – точечные
Q-вектор (значения
большие $2 \cdot 10^{-10} \text{ м}^2/\text{кг}/\text{с}$)
показаны стрелками

Пример анализа Q_n -вектора



Q_n – нормальная (поперечная) к изотермам составляющая
В зоне ее дивергенции - сплошная, а в зоне конвергенции пунктирная в слое 850-700.

Если Q_n направлен от холода к теплу, то имеет место фронтогенез (показано на рисунке!)

В области конвергенции Q_n -- восходящие потоки, в области дивергенции – нисходящие
Зона конвергенции обычно располагается вдоль фронта и связана с полосой интенсивных осадков

Что будет дальше: Инерционные колебания

$$v_g = \frac{1}{f \rho} \frac{\partial p}{\partial x} = 0 \Rightarrow \frac{du}{dt} = f u = f \frac{dy}{dt} \Rightarrow du = f dy, \quad f = \omega \quad \varphi$$

$$u_g = -\frac{1}{f \rho} \frac{\partial p}{\partial y} \Rightarrow \frac{dv}{dt} = f(u_g - u) \Rightarrow \frac{d^2 y}{dt^2} = (u_g - u)$$

$$u_g(y) = u_g(0) + \frac{\partial u_g}{\partial y} y \quad u(y) = u_g(0) + f \cdot y \quad u_g(y) - u(y) = \left(\frac{\partial u_g}{\partial y} - f \right) y$$

исходное состояние абсолютно неподвижения

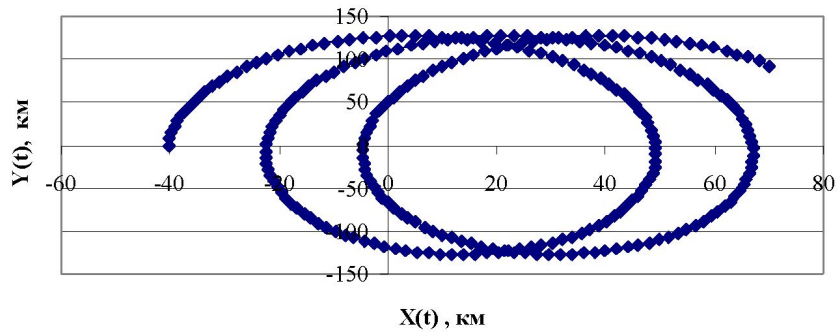
$$\frac{d^2 y}{dt^2} = f(u_g - u) = -f \left(f - \frac{\partial u_g}{\partial y} \right) y = -f \frac{\partial M}{\partial y} y$$

$$\frac{d^2 y}{dt^2} + F^2 y = 0 \quad \text{Уравнение инерционных колебаний атмосферы}$$

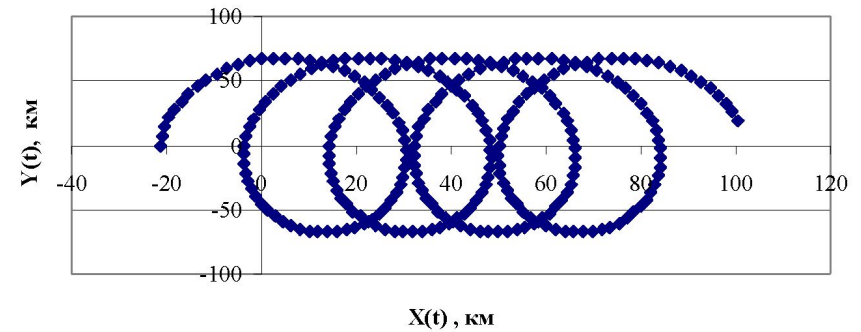
$$F = \sqrt{f \left(f - \frac{\partial u_g}{\partial y} \right)} \quad \text{— частота инерционных колебаний, при } f < \frac{\partial u_g}{\partial y} \text{ неустойчивы}$$

Траектории частицы при инерционном колебании на разных широтах

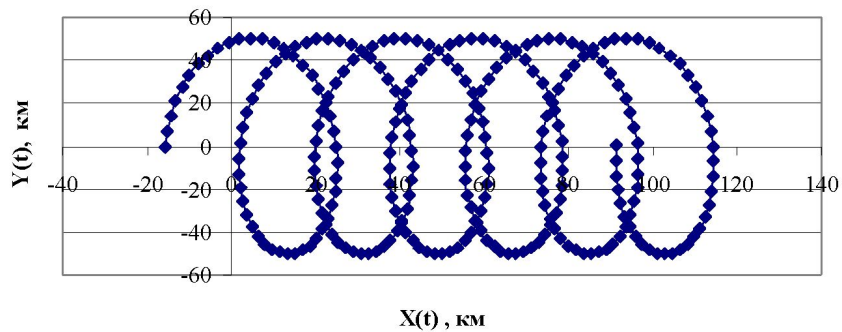
широта 20 С



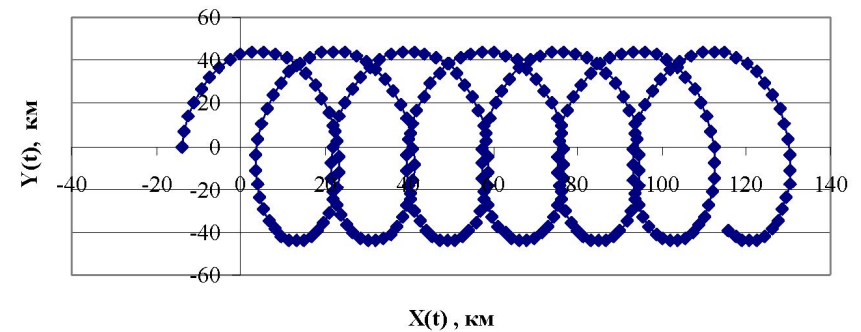
широта 40 С



широта 60 С



широта 80 С



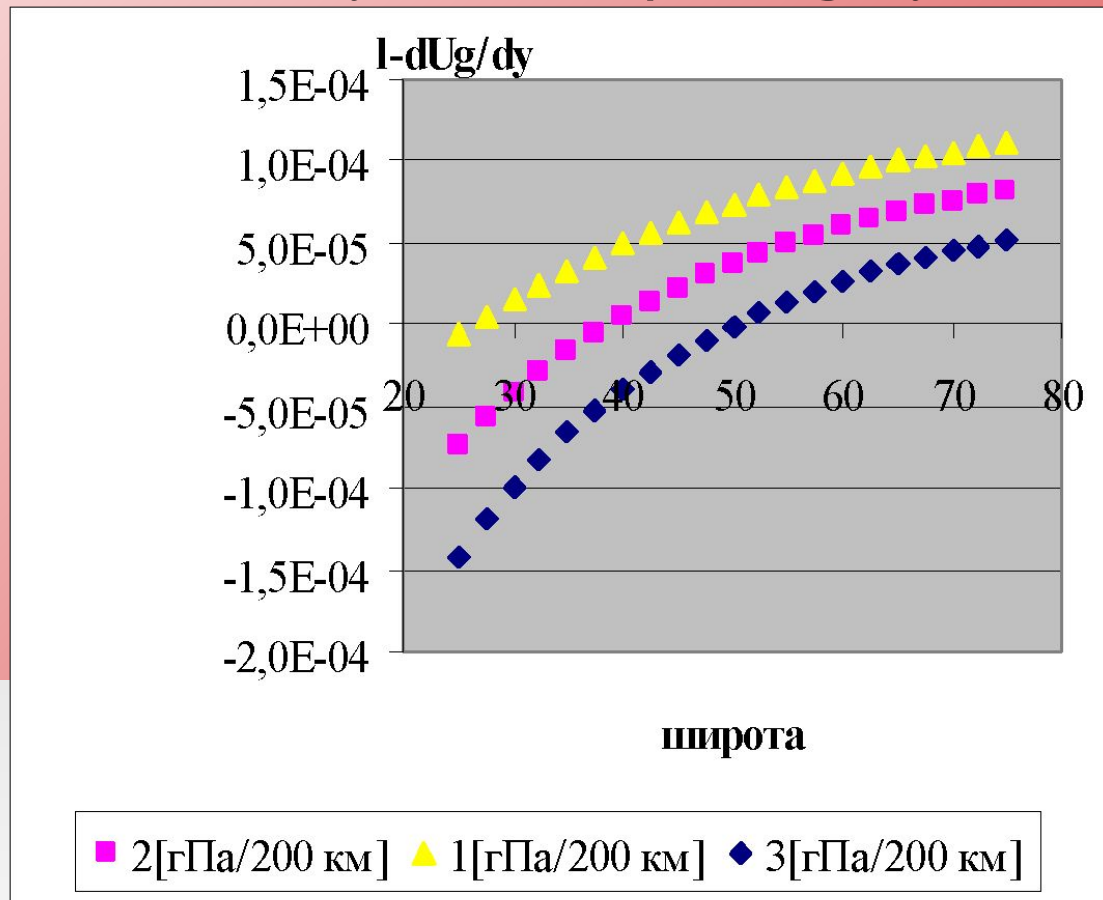
Инерционные колебания атмосферы – это движение под действием постоянного начального поля давления



- Если градиент давления отсутствует, частота инерционных колебаний равна $2\omega \sin \phi_0$
- Период называется маятниковыми сутками

Значения абсолютного вихря

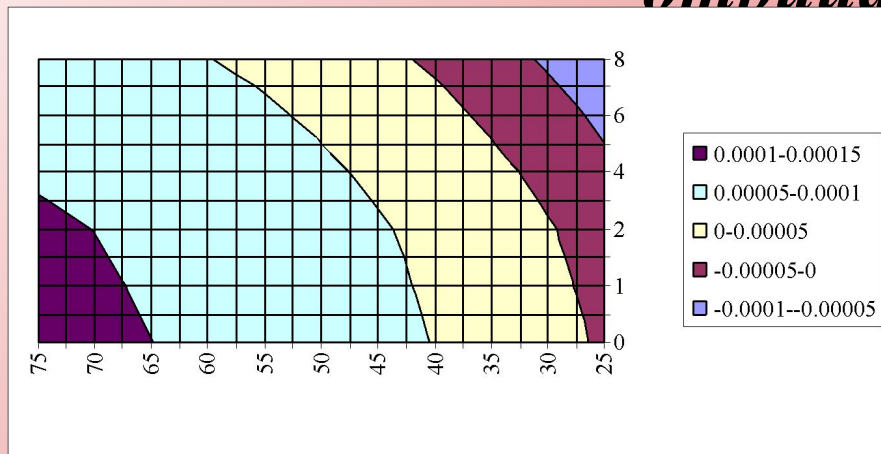
$$\underline{dM/dy = 2\omega \sin\phi - \delta U_g / \delta y}$$



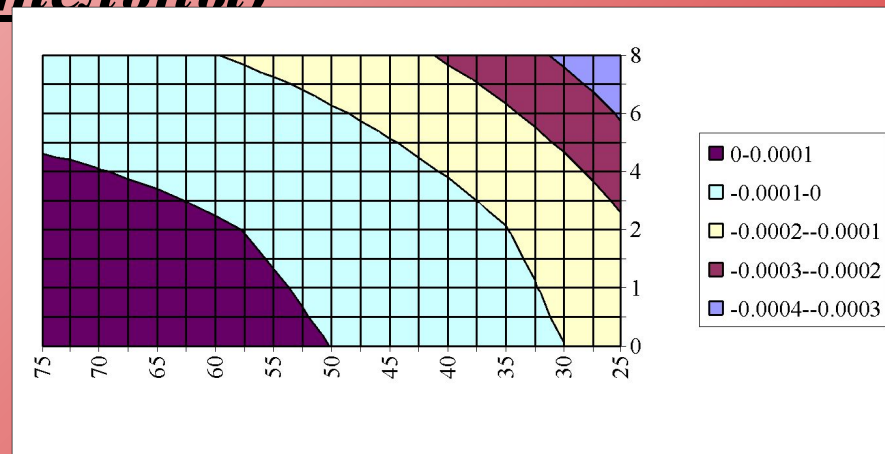
В зависимости от изменения скорости геострофического ветра абсолютный вихрь убывает с разной скоростью на разных широтах.

Неустойчивость инерционных колебаний характерна для средних и низких широт

Схема вертикального разреза абсолютного вихря (в зонах неустойчивости значения отрицательны)



$U_g(0)=7$ м/с ($dp/dz=1$ гПа/200 км)



$U_g(0)=20$ м/с ($dp/dz=3$ гПа/200 км)

- По горизонтали – широта в градусах
- По вертикали высота в км
- Атмосфера политропна, градиент температуры 6С/км
- Геострофический ветер вычислен при постоянном градиенте давления и меняется только от параметра кориолиса

Инерционная неустойчивость

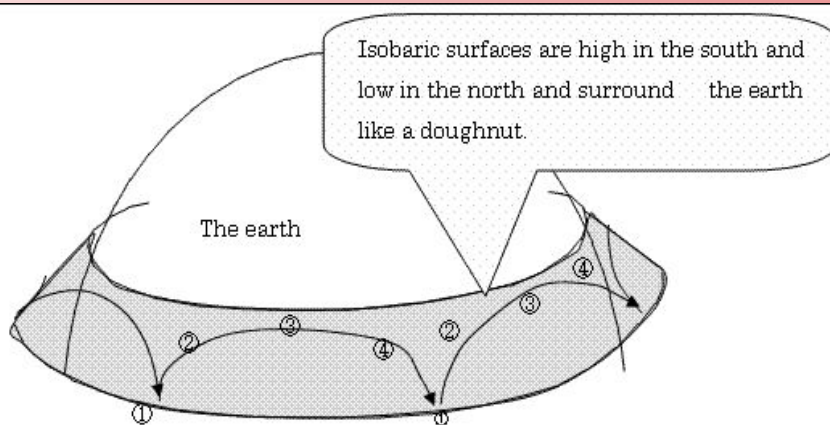
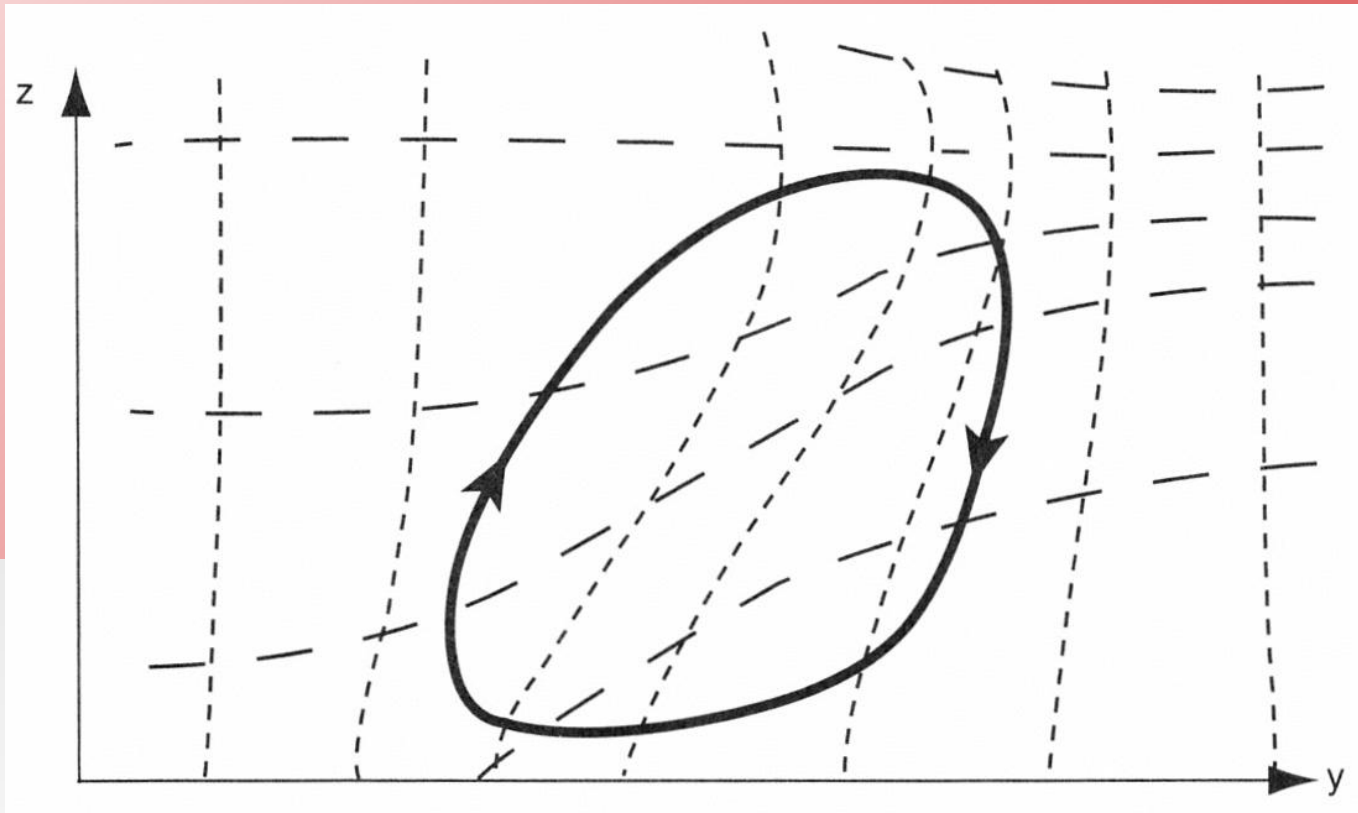


Figure 4. Trajectories of an air parcel which is put quietly on the height field whose meridional slope is fixed.

$$F = \sqrt{f \left(f - \frac{\partial u}{\partial y} \frac{g}{\partial y} \right)} \Rightarrow f - \frac{\partial u}{\partial y} \frac{g}{\partial y} = \begin{cases} < 0 & \text{колебания} \\ = 0 & \text{нет колебаний} \\ > 0 & \text{неустойчивость} \end{cases}$$

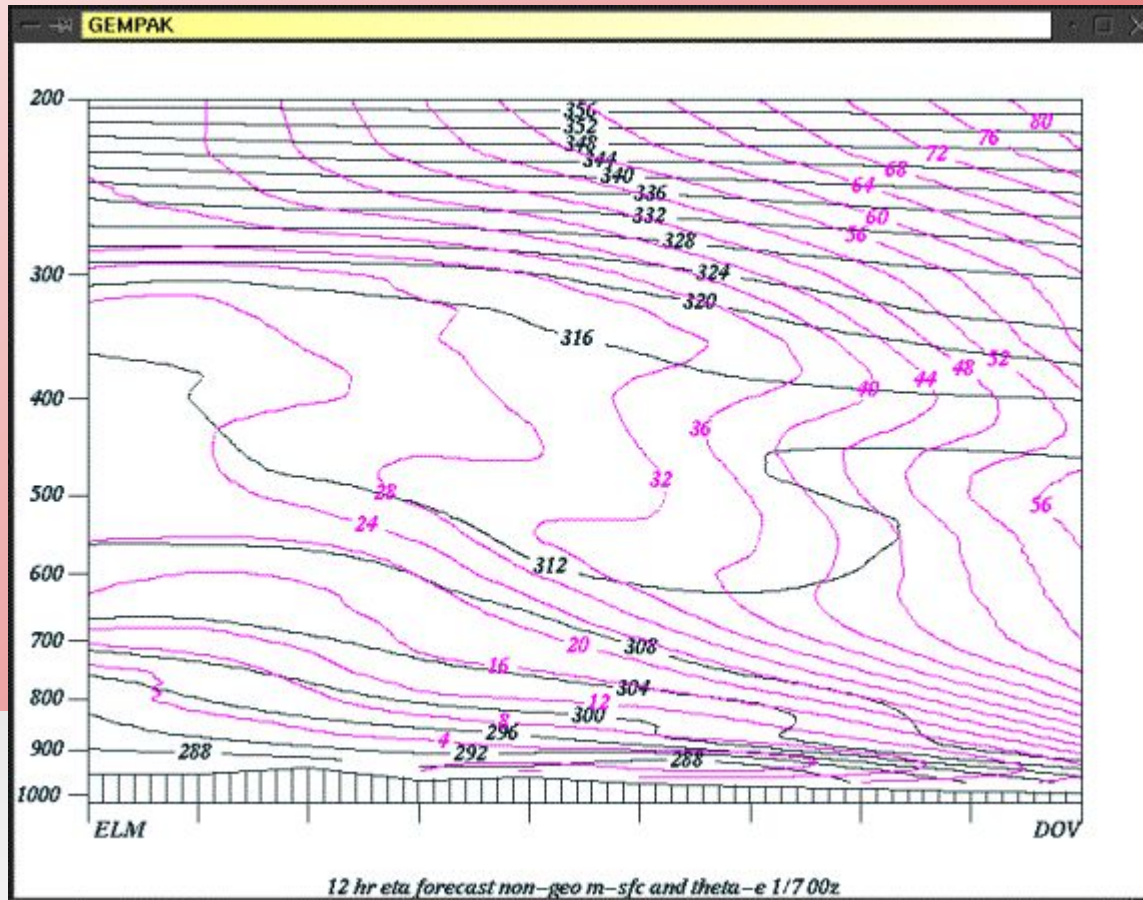
- Инерционные колебания могут быть неустойчивыми на определенных высотах и широтах

Возвращаемся к поперечной циркуляции в геострофической фронтальной зоне



Поперечная циркуляция усиливает рост градиента температуры и тем самым увеличивает наклон изолиний абсолютного вихря M , т.е. $\partial M/\partial y$ и переводя режим в полугеострофический. В последнем асимметрия еще более усиливается

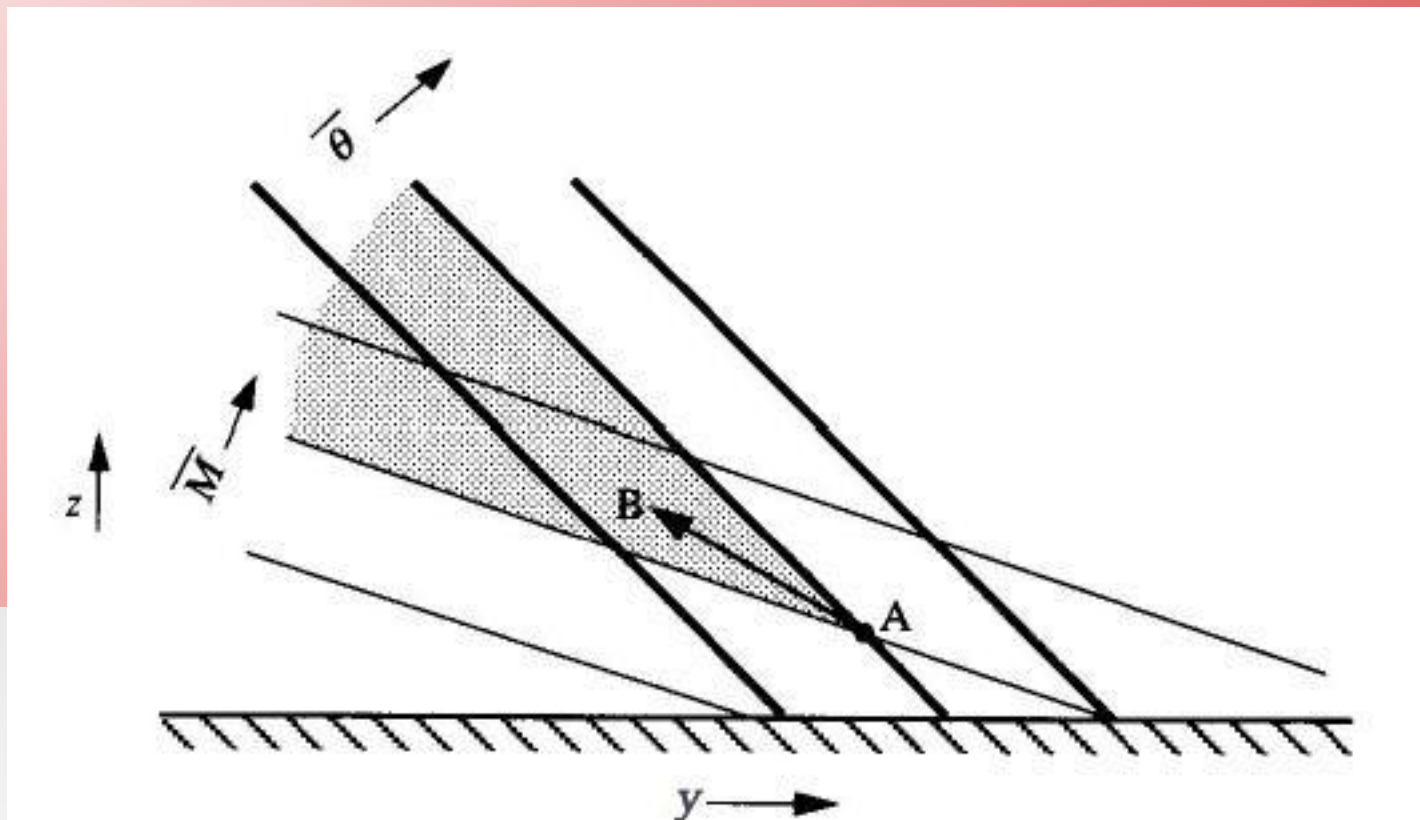
Пример разрезов θ_e и M



В баротропной атмосфере изолинии θ_e – горизонтальны, а M – вертикальны

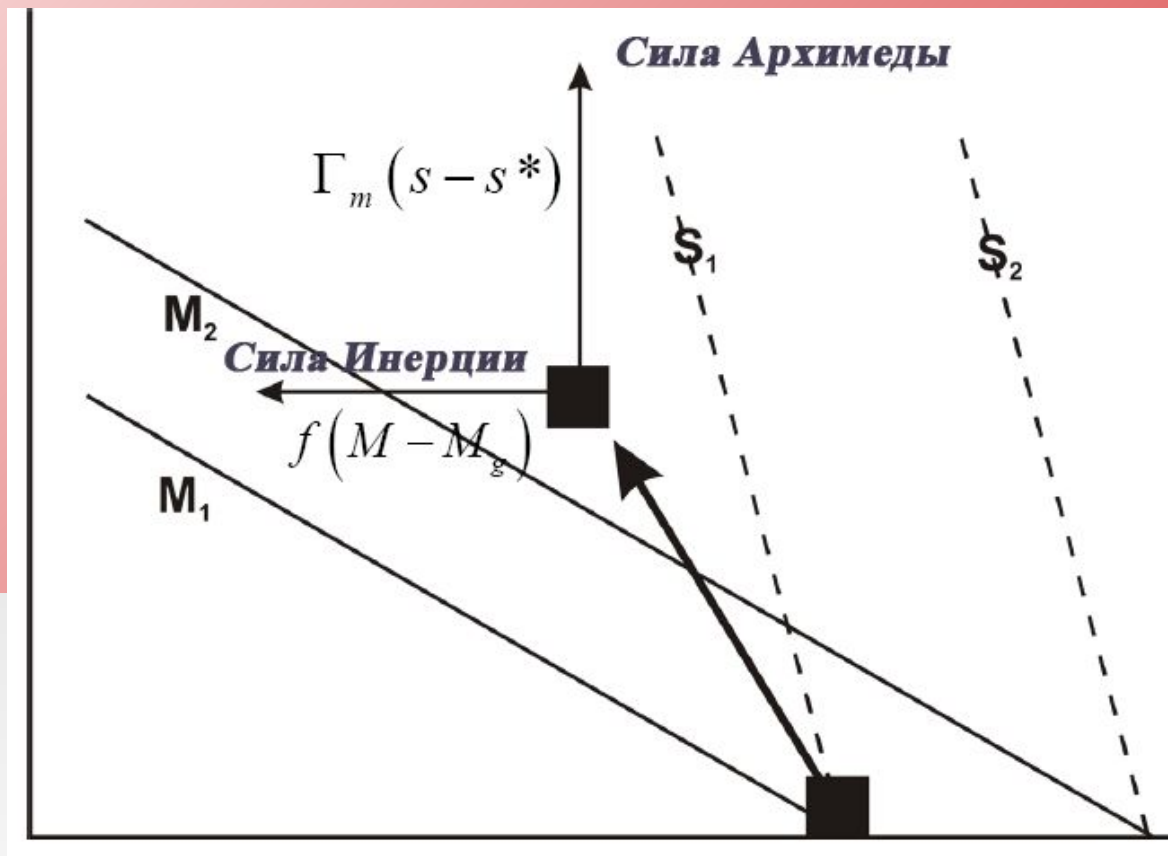
В реальной оба типа линий наклонены в сторону полюса, но наклон разный в разных точках

Образование симметричной неустойчивости



Если изолинии θ и M таковы, что $d\theta/dz > 0$ и $dM/dy > 0$ (устойчивость), но наклон M меньше, чем наклон θ . Тогда частица, перемещаемая из т. А в т. В окажется теплее окружающей среды и с меньшим M . Т.е. она будет неустойчивой при наклонном движении

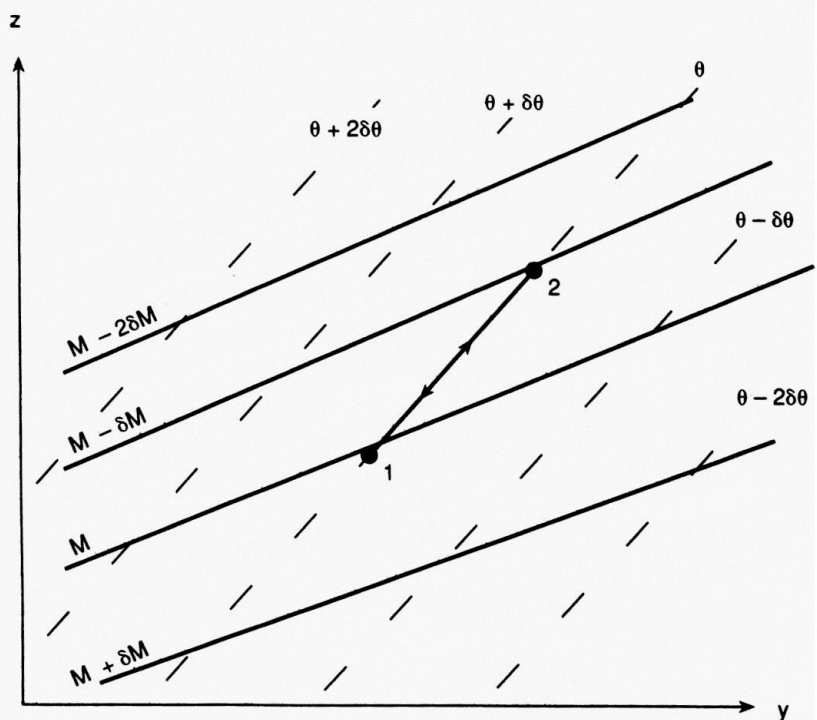
Силы, действующие на частицу при наклонном движении



Условие возникновения симметричной неустойчивости при адиабатическом движении

$$M_1 = fy_1 - u_1 = fy_1 - u_g(y_1, z),$$

$$M_2 = fy_2 - u_2 = fy_1 + f\delta y - u_g(y_1 + \delta y, z + \delta z)$$



Новые значения: $M_1^n = fy_1 + f\delta y - u_1^n$ $M_2^n = fy_1 + f\delta y - u_2^n$

Т.к. момент сохраняется, то $M_1^n = M_1$; $M_2^n = M_2$

Исключаем M_1, M_2 : $u_1^n = f\delta y + u_1$, $u_2^n = -f\delta y + u_2$

Тогда изменение кинетической энергии $\delta KE = KE^n - KE$

$$\begin{aligned} \delta KE &= \frac{1}{2} \left[(u_1^n)^2 + (u_2^n)^2 \right] - \frac{1}{2} \left[(u_1)^2 + (u_2)^2 \right] = \\ &= \frac{1}{2} \left\{ \left[(u_1^n)^2 - (u_1)^2 \right] + \left[(u_2^n)^2 - (u_2)^2 \right] \right\} = \\ &= \frac{1}{2} \left[(u_1^n - u_1)(u_1^n + u_1) + (u_2^n - u_2)(u_2^n + u_2) \right] = \\ &= f\delta y (f\delta y + u_1 - u_2) = f\delta y (M_2 - M_1) < 0 \end{aligned}$$

**Т.О. при этом типе движения $f dM/dy \equiv f (dM/dy)_\theta < 0$,
Т.е. наклон M к оси OY меньше, чем θ**

Критерий симметричной неустойчивости

Вдоль поверхностей $M=\text{const}$ и $\theta=\text{const}$ выполняются: $dM=0, d\theta=0$

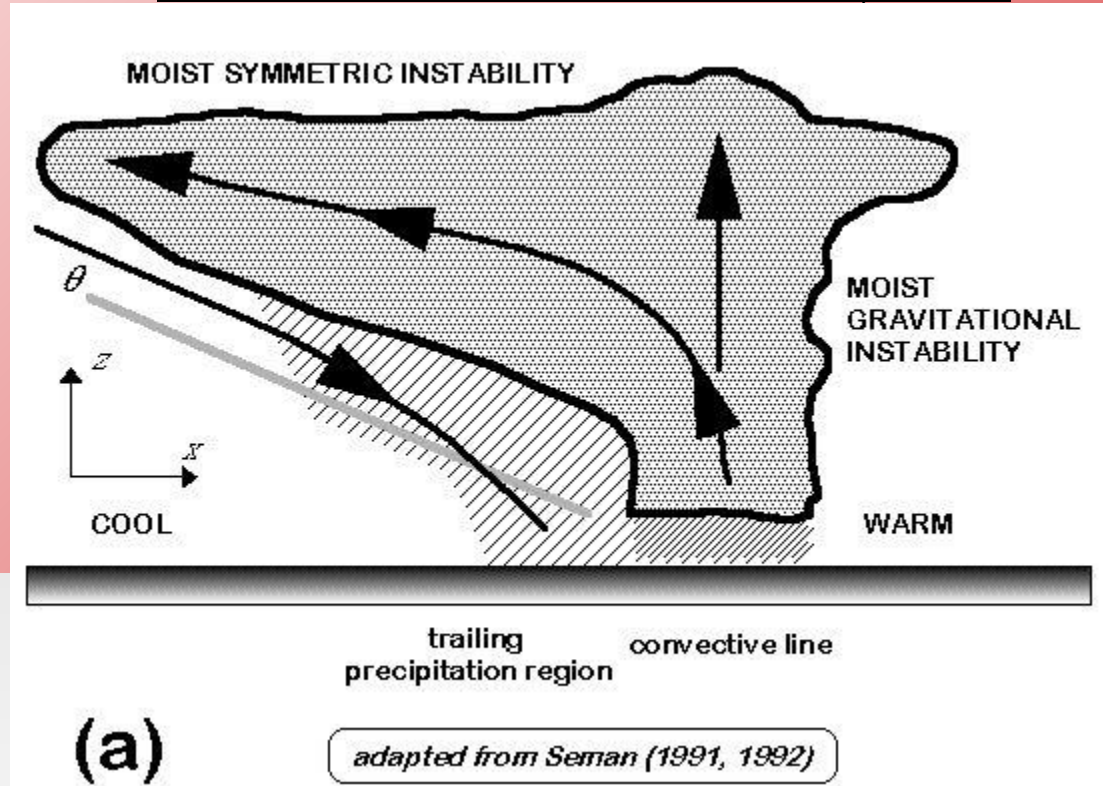
$$dM = \frac{\partial M}{\partial y} dy + \frac{\partial M}{\partial z} dz = 0 \quad d\theta = \frac{\partial \theta}{\partial y} dy + \frac{\partial \theta}{\partial z} dz = 0 \quad \Rightarrow \quad \boxed{\frac{f\theta_0}{g} \frac{\partial u_g}{\partial z}} dy + \frac{\partial \theta}{\partial z} dz$$

$$\left. \frac{dz}{dy} \right|_M = \frac{-\frac{\partial M}{\partial y}}{\frac{\partial M}{\partial z}} = \frac{\left(f - \frac{\partial u_g}{\partial y} \right)}{\frac{\partial u_g}{\partial z}} \quad \left. \frac{dz}{dy} \right|_\theta = \frac{-\frac{\partial \theta}{\partial y}}{\frac{\partial \theta}{\partial z}} = \frac{\frac{f\theta_0}{g} \frac{\partial u_g}{\partial z}}{\frac{\partial \theta}{\partial z}} = \frac{f \frac{\partial u_g}{\partial z}}{N^2}$$

Отношение наклона пов-сти M к наклону пов-сти θ должно быть меньше 1:

$$\frac{\left. \frac{dz}{dy} \right|_M}{\left. \frac{dz}{dy} \right|_\theta} = \frac{f \left(f - \frac{\partial u_g}{\partial y} \right) N^2}{\left(f \frac{\partial u_g}{\partial z} \right)^2} = \boxed{\frac{f \left(f - \frac{\partial u_g}{\partial y} \right) Ri}{f^2}} < 1 \quad \text{где} \quad Ri = \frac{\frac{g}{\theta_0} \frac{\partial \theta}{\partial z}}{\left(\frac{\partial u_g}{\partial z} \right)^2}$$

Почему для синоптики важна симметричная неустойчивость – наклонная конвекция?



1. Она объясняет форму фронтальных облаков, а также полосы облаков внутри однородных по давлению циклонов (тайфунов)

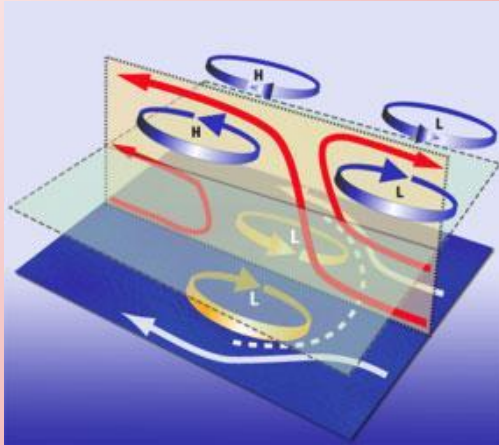
Почему для синоптики важна симметричная неустойчивость – наклонная конвекция?

$$\frac{dz}{dy}\bigg|_M \bigg/ \frac{dz}{dy}\bigg|_\theta = \frac{f \left(f - \frac{\partial u_g}{\partial y} \right) N^2}{\left(f \frac{\partial u_g}{\partial z} \right)^2} = \frac{F^2 \cdot N^2}{S^4} < 1$$

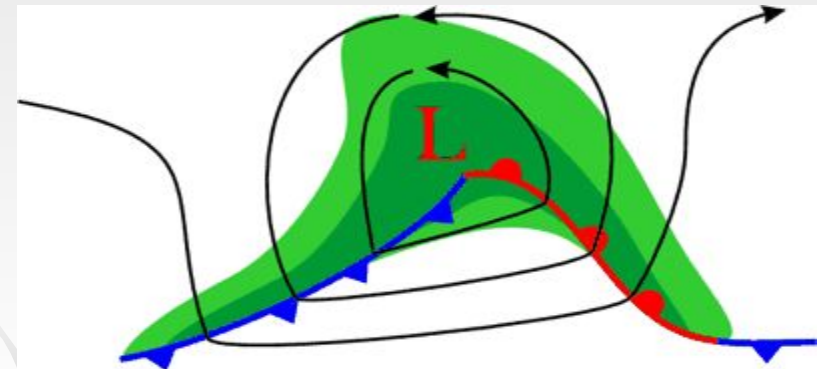
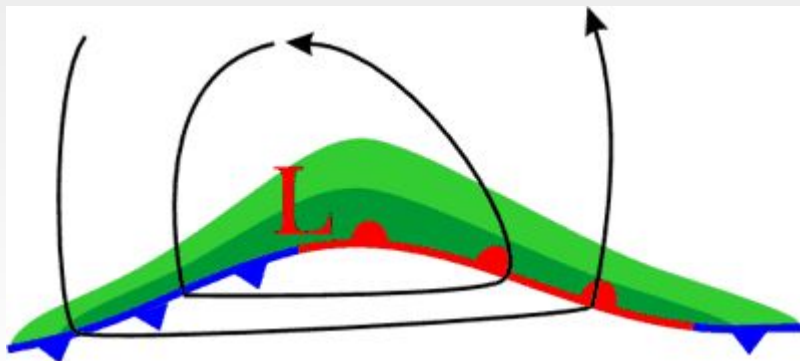
□ **Условие наклонной неустойчивости одновременно является условием перехода уравнения поперечной циркуляции к гиперболическому типу и возникновением нескольких полос циркуляции во фронтальной зоне**

$$\frac{\partial^2}{\partial t^2} \left(\frac{\partial^2 \psi}{\partial z^2} \right) + \left(N^2 + \lambda \frac{\partial b}{\partial z} \right) \frac{\partial^2 \psi}{\partial y^2} + \lambda \left(-2 \frac{\partial b}{\partial y} \right) \frac{\partial^2 \psi}{\partial z \partial y} + f \left(f - \lambda \frac{\partial u_g}{\partial y} \right) \frac{\partial^2 \psi}{\partial z^2} = 2Q_2$$

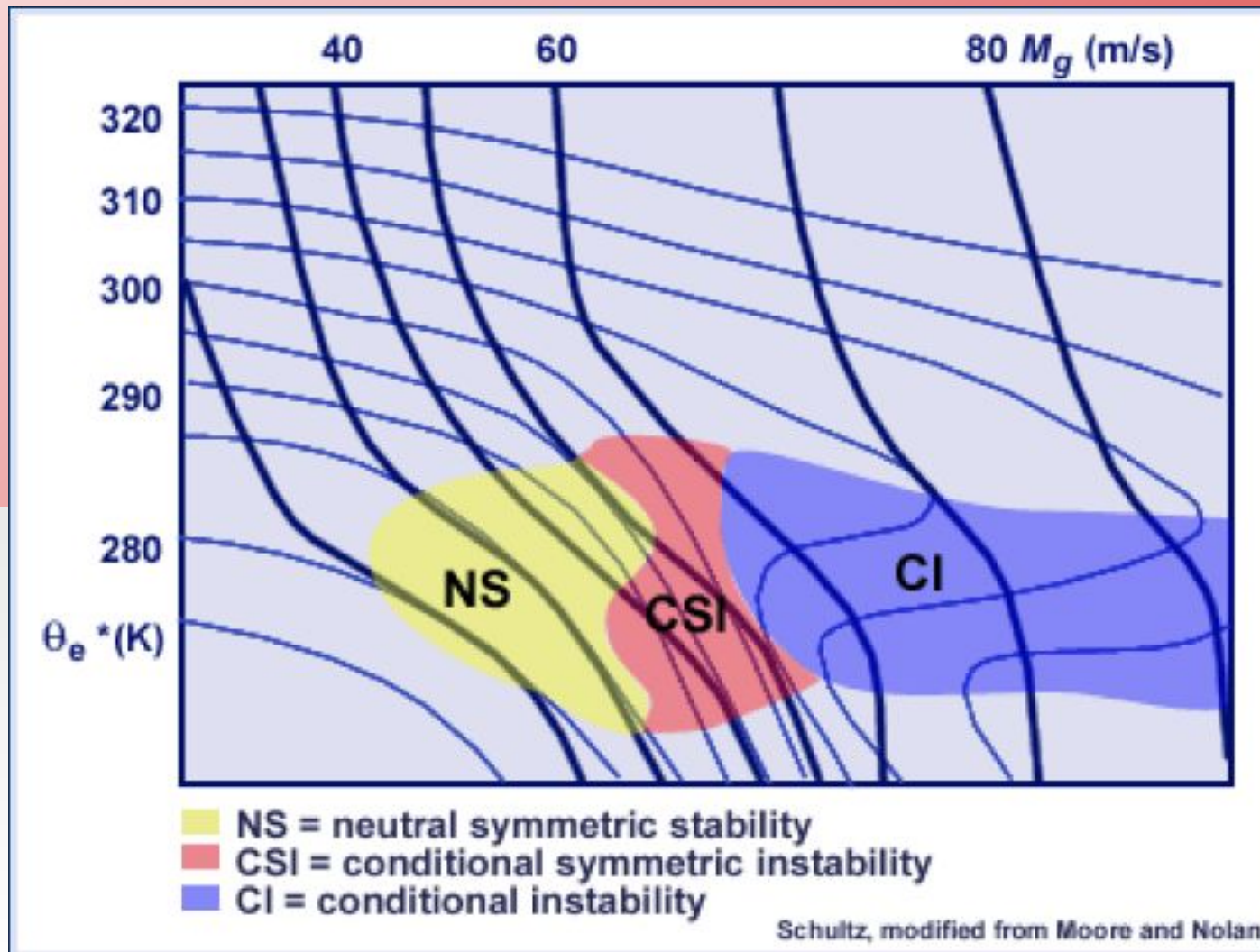
*Вертикальная циркуляция переходит в режим
растущих колебаний
в горизонтальной плоскости*



*Это значит, что
возникают суперячейки
и даже может
приводить к начальной
стадии образования
циклона – растущей
фронтальной волне*



Симметричная неустойчивость
или условия наклонной конвекции: изображения
на практике в США



Фронтогенез - итоги

- *В зонах ускорения создаются условия для самоусиления поперечных градиентов температуры и геострофического ветра*
- *Это ведет усилению ускорений и возникновению поперечных циркуляций, которые приобретают наклонную форму*
- *Когда наклон изолиний M становится меньше, чем изолиний θ , возникает наклонная неустойчивость, вызывающая наклонную конвекцию и неустойчивость, ведущую к образованию вертикальных вихрей и даже к возникновению фронтальных волн.*

Финал: Придем домой и ударим люстрой Чижевского по всем суперячейкам!



© "Альфаприбор"

Домашняя лошадь *Equus caballus* пополнила список видов с полностью расшифрованным геномом.

Кроме того, генетики установили, что все люди на 93% — лошади и только на 86% -собаки.